

光学观测中几种太阳夹角计算方法及精度分析

虞炳文, 娄广国, 蔡红维, 周小杰, 杨宏

(西昌卫星发射中心, 四川 西昌 615000)

摘要:为从计算太阳夹角的所有简单算子中,找到最接近真实值的可靠算法组合,做此实验;完成对太阳赤纬、太阳时角的常见算法公式的演算,并介绍了天文观测中会涉及到的一些基础的天文概念,完成对太阳高度角和方位角的算法演算,同时考虑蒙气差等干扰因素,加入到计算当中,最后完成对在指定地理位置设备与太阳之间的夹角数值的计算;在本次计算中,采用精度较高的复杂算法SPA算法作为参考值,对上述算法的计算结果进行鉴定,以比较上述算法计算结果的精度误差,并进行统计分析;在实验中,使用C++工具代码实现算法的运算;通过对演算结果的定量比较分析,确定了VSOP87的时角算子与Wang赤纬角算子的组合,其计算结果最为真实可靠;通过实验分析,找到了既简单可行,又具备较高准确度的太阳夹角算法组合,为提高简单算法得到的太阳夹角值的准确性起到了积极作用。

关键词:太阳夹角; 精度分析; C++; 太阳赤纬角; 太阳时角; 光学设备

Several Calculation Methods and Accuracy Analysis of Solar Angle in Optical Observation

YU Bingwen, LOU Guangguo, CAI Hongwei, ZHOU Xiaojie, YANG Hong

(Xichang Satellite Launch Center, Xichang 615000, China)

Abstract: The goal of investigation is to experimentally find out the most reliable algorithm combination that is closer to the true value for calculating the solar angle, complete the algorithm formulas for solar declination and hour angle, introduce some basic astronomical concepts with astronomical observation, complete the algorithm calculation of solar altitude and azimuth angle, take into account the interference factors such as the difference of atmosphere, add them to the calculation, and finally complete the included angle calculation between the equipment at the designated geographical location and the sun. In this calculation, the complex SPA algorithm with high accuracy is used to identify the calculation results, compare the calculation accuracy error of the above algorithms and conduct the statistical analysis. In the experiment, C++ tool code is used to implement the operation of the algorithm. Through the quantitative comparison and analysis of the calculation results, the combination of VSOP87 time angle operator and Wang declination angle operator is determined, and the calculation results are the most reliable. Through the experimental analysis, the combination of solar angle algorithms is simple, feasible and high accuracy, which has played a positive role in improving the accuracy of solar angle values by simple algorithms.

Keywords: solar angle; accuracy analysis; C++; declination angle of the sun; solar time angle; optical equipment

0 引言

在航天发射、低轨卫星长期在轨运行管理,以及天文观测中,光学观测是一个重要且不可或缺的观测方式,光学观测具备别的测量控制设备所不具备的优势,比如直观,在光学影像中,可以很直观的看见飞行器的外部状态,另外,光学观测的测角精度较高,可以作为飞行器在空间中位置的一个重要参考量。尤其在航天发射的起飞阶段中,光学观测设备是重要的辅助决策判决的手段,在发射场中得到了大量的运用。但是制约光学设备使用并发挥作用的限制条件也较为明显,除了包括山体、云等遮蔽物之外,直面部分强光源的物体的直射,可能会对光学设备的感光模块造成不可逆转的破坏,其中较为明显的,就是太阳以及月球的光线直射,因此,如何通过准确计算出飞行器与

太阳的夹角,以达到有效规避强光直射的风险,避免太阳对光学设备的损坏,是文中将要论述的重点。

在计算飞行器与太阳夹角的过程中,有很多的算子可供选择,可区分为简单算子和复杂算子,简单算子的优势是只需要少量的参数即可计算出结果,但是精度相对较低,复杂算子的优势是计算精度高,但是其需要装填的参数较多,甚至有些参数需要专业设备才能测得,在日常使用中并不便捷。因此在日常使用中,通常会选用精度较高的简单算子来替代复杂算子,本文将通过计算及精度分析,论证简单算子中与复杂算子计算结果最为接近的算子组合,以达到在简单便捷使用的同时,又能保证一定的精度。

1 计算太阳赤纬及太阳时角

首先需要介绍一下什么是太阳赤纬及太阳时角。

收稿日期:2022-09-08; 修回日期:2022-09-15。

作者简介:虞炳文(1993-),男,浙江东阳人,大学本科,助理工程师,主要从事航天测控方向的研究。

引用格式:虞炳文,娄广国,蔡红维,等.光学观测中几种太阳夹角计算方法及精度分析[J].计算机测量与控制,2022,30(12):306-318.

1.1 太阳赤纬和时角的基本概念

要梳理清楚什么是太阳赤纬和时角, 需要首先建立天球这个天文学概念。

1.1.1 天球坐标系的概念

首先需要理解的是, 天球是一个无限大的球体, 距离在这里没有意义, 在天球坐标系中, 天球的中心可以是任何的星球, 虽然一般情况下, 会将地球放在天球的中心。换言之, 地球在天球的中心位置, 此时的天球可以理解成, 地球居民在地球上的观察视角, 在某个位置, 如果足够高, 四周没有遮挡, 观察者所能看见的就是半个天穹, 即以观察者所在位置为切点的, 与地球球体相切的一个无限延展的平面, 理论上, 因为观察者所观察的是整个宇宙, 距离无穷远, 此时观察者所站立的地球, 其本身的半径相比较无穷大而言, 可以忽略不计, 因此, 此时整个宇宙的所有星球, 都可以区分为两种位置, 一种是平面以上, 一种是平面以下。

因此, 可以简单地认为, 观察者在任何一个位置, 都能观察到其所在切平面以上的, 即半个宇宙的所有星球, 因为很难去准确知晓某个星球距离地球的位置, 所以在天球坐标系中需要将距离的概念淡化, 而淡化距离概念的最简单直接的方法, 就是将所有的星球与地球的距离都假设成相同, 即将所有的星球都放在同一个球面上, 当忽略了距离, 此时想要标识某个星球的位置, 就只需要用到两个参数值, 即一个用来标识其纵向上的位置, 一个用来标识其横向上的位置的数值。

在天球坐标系中, 选用何种标准来标识一个方位和一个俯仰上的值, 其最简单直接的想法便是, 既然都是球体, 日常用来标识地球球体的经纬度体系, 可否用来标识天球的度量体系? 原理上是可以的, 事实上也正是如此的。因此在天球坐标系的度量体系中, 实际上选用了一套和地球大地坐标系同样的度量方式, 区别在于地球坐标系中使用的经纬度和高程, 而在天球坐标系中因为淡化了距离的概念, 将所有的星球都假设在了同一距离的球面上, 所以并不需要高程这一参数值, 因为需要高程的地方所需的一个基本特征是能够测量高程, 而在宇宙尺度下, 距离是很难被获取的。将星球的距离都假设在同一个平面上的过程, 也就是常说的投影。天球坐标系仅仅参考了地球大地坐标系的经纬度值, 在天球坐标系中, 这两个参数值被称之为赤经和赤纬。

在天球坐标系中, 天球的中心是地球的中心。因为观察者虽然并不在地球中心观察, 但是因为观察者所在的地球表面, 其距离地球中心的距离, 相比较天球无限大的距离来说, 可以忽略不记, 因此可以简单认为, 观察者所在的位置就是地球中心。

1.1.2 天球坐标系

同样一个天球, 根据定义的经过球心的水平面不同, 可以区分为多种天球坐标系, 在此重点介绍常见的天球坐标系有三种。

首先是经过球心的平面为赤道面时, 该处所指赤道便是地球赤道经过往外无限延伸, 最终势必将会与天球相交, 此时便形成了第二赤道坐标系, 此时的赤道面称之为天赤道, 经地心, 作一条与天赤道垂直的无限延长的线, 与天球相交于两点, 即图 1 中所示 P 点(天北极)与 P' 点(天南极)。

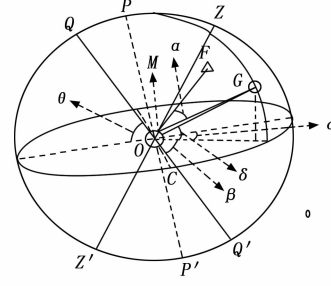


图 1 天球示意图

然后是将地球与太阳放在同一个平面上, 所形成的平面, 称之为黄道面, 以此为基准, 便是黄道坐标系, 仅靠地球与太阳两点不能确认一个平面, 还需要一到两个点, 这另外两个点的选择, 便是春分点和秋分点, 即太阳直射点穿过赤道时的两个点。经过地心, 作一条与黄道面垂直的直线, 与天球相交于两点, 便是图 1 中的 Q(黄北极)和 Q'(黄南极)点。黄道面与赤道面相交所形成的夹角, 便是黄赤交角。

最后还需要介绍的便是以观察者所在位置, 所作的与地球相交的平面, 称之为地平面, 此时的地平面, 在宇宙维度内, 可以认为是经过地球地心的一个平面, 过地心作一条垂直于地平面的直线, 与天球相交于两点, 即观察者的头顶与脚底, 见图 1 中 Z(天顶)和 Z'(天底)。

1.1.3 对天球上的常用点线面的理解

对图 1 中所涉及的标注进行解释。

F 点指的是飞行器, G 点指的时太阳, 飞行器在此时, 也可以当成一个映射在天球球面上的物体, M 点为地球上观察者的位置, 过天北极 P 点与天南极 P' 的赤经圈称之为天子午圈, 天子午圈可以有很多条, 但是通过天顶 Z 的, 只有一个圈, 称之为本初子午圈, 即图 1 中所画弧线 PZP' 所在圆。

C 点为春分点, 需要重点介绍一下, 在后续计算过程中, 很多的运算的数值, 都与此概念相关。春分点时黄道面和赤道面的相交点, 即太阳直射点从南向北经过赤道的那个点, 这个点并不是一个实际上地球地理坐标点, 是无法用经纬度表示的, 春分点是两个平面的交点, 始终处在两个平面的相交处。天文学上, 将春分点作为很多天文概念的起算点, 比如恒星时, 比如太阳赤经。

太阳赤纬角为地心与太阳的连线与天赤道面的夹角, 即图 1 中 δ 角。

太阳赤经角, 从春分点 C 向东, 一直到太阳在天赤道

上的投影线之间的夹角，即春分点所在的赤经圈与太阳所在的赤经圈之间的夹角，称之为赤经角，即图 1 中的 β 角。

太阳时角，是从本初子午圈与天赤道相交的点向西，即太阳所在的赤经圈与本初子午圈之间的夹角，即图 1 中的 γ 角。

最终需要求解的是太阳夹角，即从地球上某个位置观察飞行器和太阳时，太阳和飞行器之间的夹角，即图 1 中的 α 角。

在此需要特别注意的是，上述涉及的天文概念中，前缀往往都带着参考的星球的名称，比如太阳，之所以这么解释，是因为可以不是太阳，可以是宇宙中任何一个天体，比如银河系的中心作为参考的银河坐标系。在本文中所涉及的未特别声明的天文概念，均以太阳作为参考。

1.2 太阳赤纬的计算方法

要计算太阳夹角，首先需要解决的问题，便是如何准确计算天球坐标系下，太阳赤纬及太阳时角的值。首先计算太阳赤纬的值。

计算太阳赤纬值的方法有很多，常见的简单算法有 Cooper 算法、Spencer 算法、Stine 算法、Bourges 算法、Wang 算法、Yu 算法，上述六种算法均基于天文观测数据，通过公式拟合提出的数学公式，另外还可以通过对天文观测数据的数值拟合算法，求出拟合度更高的计算公式，只是通过该方法提出的公式，其系数会因年而异，所以不具备普适性，另外，李文提出通过傅里叶展开法提出对拟合公式的改进算法。除数学拟合算法之外，还有一种基于 VSOP87 行星理论，演算推导算法的方法。

下面结合 C++ 代码语言，对太阳赤纬各算法进行逐个分析计算。

1.2.1 Bourges 算子

Bourges 是由 Bourges 提出的，Bourges 算子的公式如下所示。其中 ω 为弧度参考系数， t 为等效计日序数。太阳赤纬角的单位为弧度。

$$\delta = 0.3723 + 23.2567 \sin(\omega t) + 0.1149 \sin(2\omega t) - 0.1712 \sin(3\omega t) - 0.7580 \cos(\omega t) + 0.3656 \cos(2\omega t) + 0.02010 \cos(3\omega t) \quad (1)$$

弧度参考系数如下所示：

$$\omega = \frac{2\pi}{365.2422} \quad (2)$$

计日序数的计算如下所示。其中 d_n 为计日序数，即本年度的第几天。

$$t = d_n - 1 - n_0 \quad (3)$$

n_0 的计算公式如下，其中 n 表示年份，如本年度为 2022 年，则 $n=2022$ 。

$$n_0 = 78.801 + [0.2422(n - 1969)] - \text{int}[0.25(n - 1969)] \quad (4)$$

Bourges 算法实现的代码如下：

```
double Bourges(cDateTime date)
{
```

```
    int n = getDaysOfYear(date);
    int temp = 0.25 * (date.year - 1969);
    double n0 = 78.801 + 0.2422 * (date.year - 1969) - temp;
    double t = n - 1 - n0; // 等效计日序数
    double w = 2 * M_PI / 365.2422; // 参考弧度系数
    double dellta = 0.3723 + 23.2567 * sin(w * t) + 0.1149 * sin(2 * w * t) - 0.1712 * sin(3 * w * t) - 0.7580 * cos(w * t) + 0.3656 * cos(2 * w * t) + 0.0201 * cos(3 * w * t);
    return dellta / 180.0 * M_PI; // 弧度
}
```

1.2.2 Cooper 算子

Cooper 算子是由 Cooper 提出的，Cooper 算子的公式如下所示。公式中 n 为该年度中的天数累计值，如 1 月 11 日，则 $n=11$ 。太阳赤纬角的返回值单位是弧度。

$$\delta = 23.45 \times \sin(2 \times \pi \times \frac{284+n}{365}) \quad (5)$$

δ 为太阳赤纬角。代码实现如下：

```
double Cooper(cDateTime date)
{
    int n = getDaysOfYear(date);
    double dellta;
    dellta = 23.45 * sin(2 * M_PI * (284.0 + n) / 365.0);
    return dellta / 180.0 * M_PI; // 弧度
}
```

1.2.3 Spencer 算子

Spencer 算子是由 Spencer 提出的，其中太阳赤纬角的单位为弧度， θ 为日角。算法公式如下所示：

$$\delta = 0.006918 - 0.399912 \cos(\theta) + 0.070257 \sin(\theta) - 0.006758 \cos(2\theta) + 0.000907 \sin(2\theta) - 0.002697 \cos(3\theta) + 0.00148 \sin(3\theta)$$

日角的计算公式如下所示：

$$\theta = \frac{2\pi(n-1)}{365} \quad (6)$$

Spencer 算子的实现代码如下：

```
double Spencer(cDateTime date)
{
    int n = getDaysOfYear(date);
    double gamma = 2 * M_PI * (n - 1) / 365.0; // 日角
    double dellta = 0.006918 - 0.399912 * cos(gamma) + 0.070257 * sin(gamma) - 0.006758 * cos(2 * gamma) + 0.000907 * sin(2 * gamma) - 0.002697 * cos(3 * gamma) + 0.00148 * sin(3 * gamma);
    return dellta; // 弧度
}
```

1.2.4 Yu 算子

Yu 算子是由 Yu 提出来的，是在 Spencer 算子的基础上做的简化，计算得到的太阳赤纬角单位为弧度。 θ 为日角，公式如下：

$$\delta = 0.006918 - 0.399912 \cos(\theta) + 0.070257 \sin(\theta) - 0.006758 \cos(2\theta) + 0.000907 \sin(2\theta) \quad (7)$$

其中的日角的计算公式如下:

$$\theta = \frac{2\pi(n-1)}{365} \quad (8)$$

实现 Yu 算法的代码如下:

```
double Yu(cDateTime date)
{
    int n = getDaysOfYear(date);
    double theT = 2 * M_PI * (n - 1) / 365; // 日角
    double dellta = 0.006918 - 0.399912 * cos(theT) + 0.070257
        * sin(theT) - 0.006758 * cos(2 * theT) + 0.000907 * sin(2 *
        theT);
    return dellta; // 弧度
}
```

1.2.5 Stine 算子

Stine 算子是由 Stine 提出的, 其中太阳赤纬角的单位为弧度, 其中 n 为计日序数, 即本年度的第几天。

$$\delta = \arcsin[0.39795 \cos(2\pi \frac{n-173}{365.242})]$$

Stine 算法的实现代码如下:

```
double Stine(cDateTime date)
{
    int n = getDaysOfYear(date);
    double dellta = asin(0.39795 * cos(2 * M_PI * (n - 173) /
365.242));
    return dellta; // 弧度
}
```

1.2.6 Wang 算子

Wang 算子是由王炳忠在 Bourges 的基础上, 针对计日系数, 修改了部分系数, 并将起算年份从 1969 改为了 1985, 使得其更加贴近真实值。计算所得的太阳赤纬角的单位为弧度。公式如下所示, 与 Bourges 算子相同。太阳赤纬角的单位为弧度。

$$\delta = 0.3723 + 23.2567 \sin(\omega t) + 0.1149 \sin(2\omega t) -
0.1712 \sin(3\omega t) - 0.7580 \cos(\omega t) +
0.3656 \cos(2\omega t) + 0.02010 \cos(3\omega t) \quad (9)$$

其中的弧度参考系数也与 Bourges 相同。如下所示:

$$\omega = \frac{2\pi}{365.2422} \quad (10)$$

以及等效计日序数的算法也是相同的, 如下:

$$t = d_n - 1 - n_0 \quad (11)$$

与 Bourges 不同的是对 n_0 的计算, 如下所示:

$$n_0 = 79.6764 + [0.2422(n - 1985)] - \text{int}[0.25(n - 1985)] \quad (12)$$

Wang 算法的实现代码如下所示:

```
double Wang(cDateTime date)
{
    int n = getDaysOfYear(date);
    int year = date.year;
    int temp = 0.25 * (year - 1985);
    double n0 = 79.6764 + 0.2422 * (year - 1985) - temp;
```

```
    double t = n - 1 - n0; // 等效计日序数
    double w = 2 * M_PI / 365.2422; // 参考弧度系数
    double dellta = 0.3723 + 23.2567 * sin(w * t) + 0.1149 * sin
        (2 * w * t) - 0.1712 * sin(3 * w * t) - 0.7580 * cos(w * t) + 0.3656
        * cos(2 * w * t) + 0.0201 * cos(3 * w * t);
    return dellta / 180.0 * M_PI; // 弧度
}
```

1.2.7 数值拟合法

数值拟合法是由李文提出的, 根据 2015—2018 年的天文年历, 提出使用积日因子 β 作为多项式的中间系数, 进行拟合计算。得到适 2015—2018 年的年份的改进公式。

太阳赤纬角的单位为弧度, 其中太阳赤纬角的计算公式如下, 其中的 β 为积日因子, a_k 为系数。

$$\delta = \sum_{k=0}^{11} a_k \beta^k \quad (13)$$

积日因子的求解公式如下所示。其中 d_n 为积日系数。

$$\beta = \frac{2\pi(d_n - 1 - n_0)}{365.2422} \quad (14)$$

n_0 的计算公式如下所示:

$$n_0 = 79.6764 + 0.2422(n - 1985) - \text{int}(n - 1985) \quad (15)$$

数值拟合算法的代码如下所示:

```
double NumericalFitting(cDateTime date)
{
    int n = getDaysOfYear(date);
    int year = date.year;
    int temp = year - 1985;
    double n0 = 79.6764 + 0.2422 * (year - 1985) - temp;
    double b = 2 * M_PI * (n - 1 - n0) / 365.2422;
    int L = (year - 2015) % 4;
    double dellta = 0;
    if(L == 0)
    {
        dellta = calDellta(b, 0.38835, 22.911, -0.49055, -3.1217,
            0.043485, -0.19959, 0.12879, 0.045704, -0.040516, 0.010031,
            -1.0946e-3, 4.5142e-5);
    } else if(L == 1)
    {
        dellta = calDellta(b, 0.38879, 22.909, -0.49009, -3.1203,
            0.041657, -0.19950, 0.12971, 0.045246, -0.040482, 0.010056,
            -1.1011e-3, 4.5598e-5);
    } else if(L == 2)
    {
        dellta = calDellta(b, 0.38769, 22.909, -0.49277, -3.1178,
            0.046562, -0.20471, 0.12953, 0.047321, -0.041560, 0.010309,
            -1.1302e-3, 4.6935e-5);
    } else if(L == 3)
    {
        dellta = calDellta(b, 0.38702, 22.910, -0.49060, -3.1193,
            0.044708, -0.20270, 0.12943, 0.046646, -0.041166, 0.010207,
            -1.1175e-3, 4.6298e-5);
    }
    return dellta / 180.0 * M_PI; // 弧度
}
```

```

double calDelta(double b, double a0, double a1, double a2,
double a3, double a4, double a5, double a6, double a7, double a8,
double a9, double a10, double a11)
{
    double delta=a0 * pow(b,0)+a1 * pow(b,1)+a2 * pow
(b,2)+a3 * pow(b,3)+a4 * pow(b,4)+a5 * pow(b,5)+a6 * pow
(b,6)+a7 * pow(b,7)+a8 * pow(b,8)+a9 * pow(b,9)+a10 *
pow(b,10)+a11 * pow(b,11);
    return delta;
}

```

1.2.8 傅里叶展开法

傅里叶展开法是由李文提出的，在数值拟合法的基础上，进行的改进算法，通过观察连续的太阳赤纬角的变化规律，发现太阳赤纬角的变化具备周期性，每 4 年一个循环，因此将算法的周期，从 1 年修改为 4 年，定义算法中的年份为每个周期中的第三年，并且将计日序数从之前的 1 年中的第几天，改成整个 4 年周期中的第几天，即总的计日序数。

得到的太阳赤纬角的值，单位为弧度，其中 β 为积日因子。计算公式如下所示：

$$\delta = a_0 + \sum_{k=1}^5 a_k \cos(k\beta) + \sum_{k=1}^5 b_k \sin(k\beta) \quad (16)$$

积日因子的计算公式如下所示，其中 d_n 为积日系数。

$$\beta = \frac{2\pi(d_n - 1 - n_0)}{365.2422} \quad (17)$$

式中， n_0 表达式如下所示：

$$n_0 = 79.6764 + 0.2422(n - 1985) - \text{int}(n - 1985) \quad (18)$$

傅里叶展开法的计算公式如下所示：

```
double FourierBaseNF(cDateTime date)
```

```

{
    int n=getDaysOfYear(date);
    int year=date.year;
    int y=0;//周期内的第 3 个年份
    int dn=0;//周期内的总计日序数
    if(year>=2015)
    {
        y=((year-2015)/4)*4+2017;
    }else{
        y=2013-((2015-year)/4)*4;
    }
    int temp=(year-3)%4;//这是周期内的第几年
    if(temp==0)
    {
        dn=n;
    }else if(temp==1)
    {
        if(QDate::isLeapYear(year-1))
        {
            dn=dn+366;
        }else{
            dn=dn+365;
        }
    }
    double n0=79.6764+0.2422*(y-1985)-int(y-1985);
    double b=2*M_PI*(dn-1-n0)/365.2422;
    double delta=calFourierBaseNF(b,0.3783,-0.5624,
0.3654,0.0156,-0.007662,-0.0005366,23.25,0.1082,-0.1705,
-0.002773,0.003393);
    return delta/180.0*M_PI;//弧度
}

double calFourierBaseNF(double b, double a0, double a1,
double a2, double a3, double a4, double a5, double b1, double b2,
double b3, double b4, double b5)
{
    double delta=a0+a1*cos(b)+a2*cos(2*b)+a3*cos(3*b);
}
```

```

* b) + a4 * cos(4 * b) + a5 * cos(5 * b) + b1 * sin(b) + b2 * sin(2 *
b) + b3 * sin(3 * b) + b4 * sin(4 * b) + b5 * sin(5 * b);
    return dellta;
}

```

1.2.9 VSOP87 行星理论

VSOP87 球形理论是由 Bretagnon 和 Francou 在 1987 年提出的, 是 VSOP82 球形理论的进一步完善, VSOP 球形理论是用来描述太阳系范围内的行星的轨道, 在很长时间内的周期性变化的一种半分析理论。

VSOP 球形理论除了可以算出精确的行星轨道参数, 还可以直接计算出行星的位置, 在此所言的位置, 包含各种坐标系在内, 如黄道坐标系。

计算 VSOP87 计算太阳赤纬角的过程, 大致可分为七步。

- 1) 计算儒略日数, 用 J 表示。
- 2) 计算相对儒略实际数, 用 T 表示, 如下所示:

$$T = \frac{J - 2451545.0}{36525} \quad (19)$$

- 3) 计算太阳几何平黄经, 用 L 表示, 如下所示:

$$L = 280.466456 + 36000.76982779 \times T + 0.003032028 \times$$

$$T^2 + \frac{T^3}{49931} - \frac{T^5}{15299} \quad (20)$$

- 4) 计算平黄赤交角, 用 MB 表示, 如下所示:

$$MB = 23.4392911111 - \frac{46.815}{3600} \times T - \frac{0.00059}{3600} \times T^2 + \frac{0.001813}{3600} \times T^3 \quad (21)$$

- 5) 计算太阳平近点角, 用 MSs 表示, 如下所示:

$$MSs = 357.52191 + 35999.0503 \times T - \frac{0.0001559}{3600} \times T^2 + 0.00000048 \times T^3 \quad (22)$$

- 6) 计算太阳真黄经, 用 SYS 表示, 如下所示:

$$SYS = L + (1.9146 - 0.004817 \times T - 0.000014 \times T^2)$$

$$\sin \frac{MSs}{ra\deg} + (0.019993 - 0.000101 \times T) \sin \left(\frac{2MSs}{ra\deg} \right) + 0.00029 \sin \frac{3MSs}{ra\deg} \quad (23)$$

- 7) 计算太阳地心赤纬角, 用 Dec 表示, 如下所示:

$$Dec = \arcsin \left(\sin \frac{MB}{ra\deg} \times \sin \frac{SYS}{ra\deg} \right) \quad (24)$$

上式中涉及的 $ra\deg$ 为弧度与度的转换量纲, 取 $ra\deg$ 值为 57.295 779 513 07。

用代码实现上述公式如下:

```

double VSOP87(cDateTime date)
{
    // 儒略日数
    double J=date2JD(date);
    // 计算相对儒略世纪数
    double T=(J- 2451545.0)/36525;
    // 太阳几何平黄经
    double L=280.466456+36000.76982779 * T+0.003032028 *

```

```

pow(T,2)+pow(T,3)/49931-pow(T,5)/15299;
// 平黄赤交角
double MB = 23.4392911111 - (46.815/3600) * T -
(0.00059/3600) * pow(T,2)+(0.001813/3600) * pow(T,3);
// 太阳平近点角
double MSs=357.52191+35999.0503 * T-0.0001559 *
pow(T,2)-0.00000048 * pow(T,3);
// 太阳真黄经
double SYS=L+(1.9146-0.004817 * T-0.000014 * pow(
T,2)) * sin(MSs/radeg)+(0.019993-0.000101 * T) * sin(2 *
MSs/radeg)+0.00029 * sin(3 * MSs/radeg);
// 太阳地心赤纬
double Dec=asin(sin(MB/radeg) * sin(SYS/radeg));
return Dec;
}

```

1.3 太阳时角的计算方法

太阳时角是以太阳为参考, 其值代表了观察者所在的子午圈与太阳所在的子午圈之间的夹角。太阳时角的单位通常可以是角度值, 如度分秒, 此时的取值范围为 0 至 360 度, 也可以是时间值, 如时分秒, 此时的取值范围为 0 至 24 小时。当用角度表示时, 其表示的含义可以理解为两个子午圈之间的夹角, 当使用时分秒表示时, 其含义可以理解为太阳在时角时间之前通过观察者正上空。如时角为 3.5^h, 则代表在 3.5 小时之前, 太阳在 3.5 小时之前从观察者所在的正上空通过。

太阳时角的计算采用下列公式。其中 t_s 为真太阳时。

$$\omega = \frac{\pi}{12}(t_s - 12) \quad (25)$$

真太阳时的计算采用下面中的公式计算, 其中 t 为平太阳时, 单位为小时。在天文观测中, 很多天文概念都会加一个“平”字, 其含义往往是代表着未加误差修正的简单值, 加上修正以后, 通常称之为“真”。 eot 即对时间的修正值。太阳时角的计算, 其重点就在于误差修正值 eot 的计算。

$$t_s = t + eot + \frac{\lambda - 120}{15} \quad (26)$$

下面将介绍 6 种计算太阳时角的算子, 分别为 Lamm 算子, Spencer 算子, Whillier 算子, Wloof 算子, Yu 算子, 以及 VSOP87 行星理论。其区别主要便在误差修正值的计算上。

1.3.1 Lamm 算子

Lamm 算子是由 Lamm 提出的, 其特点是考虑了平年和闰年的区别, 其公式如下。以四年为一个周期, 其中 n 为全周期中的计日序数。 A_k 和 B_k 为系数值, 在此采用杜春旭提出的参数值进行计算。计算所得 eot 值单位为分钟值, 需要转化为小时进行下一步计算。

$$eot = \sum_{k=0}^5 (A_k \cos \frac{2\pi kn}{365.25} + B_k \sin \frac{2\pi kn}{365.25}) \quad (27)$$

实现代码如下所示:

```

double Lamm(cDateTime mDateTime, double lon)
{
    int n = getDaysOfYear(mDateTime);
    int n0 = mDateTime.year%4;
    if(n0 == 0)
    {
        n = n;
    } else if(n0 == 1)
    {
        n = n + 366;
    } else if(n0 == 2)
    {
        n = n + 366 + 365;
    } else if(n0 == 3)
    {
        n = n + 366 + 365 + 365;
    }

    double t = getHours(mDateTime);
    double thet = 2 * M_PI * n / 365.25;
    //eot 为分钟的单位
    double eot = 0.00020870 * cos(thet * 0) + 0.0092869 * cos
(thet * 1) - 0.052258 * cos(thet * 2) - 0.0013077 * cos(thet * 3) -
0.0021867 * cos(thet * 4) - 0.000151 * cos(thet * 5) -
- 0.12229 * sin(thet * 1) - 0.15698 * sin(thet * 2) -
0.0051602 * sin(thet * 3) - 0.0029823 * sin(thet * 4) - 0.00023463
* sin(thet * 5);

    double ts = 0;
    ts = t + eot / 60 + (lon - 120) / 15;
    //转为弧度。1个小时对应 15°。
    double w = M_PI / 12 * (ts - 12);
    return w;
}

```

1.3.2 Spencer 算子

Spencer 算子除了可以计算太阳赤纬，也提出了计算太阳时角的公式。其计算公式如下。其中 θ 为日角，单位为弧度。

$$\begin{aligned} eot &= 229.18[0.000075 + 0.001868 \cos(\theta) - \\ &0.032077 \sin(\theta) - 0.014615 \cos(2\theta) - \\ &0.04089 \sin(2\theta)] \end{aligned} \quad (28)$$

日角的计算公式如下，周期为 1 年， n 为计日序数。

$$\theta = \frac{2\pi(n-1)}{365} \quad (29)$$

公式计算所得的 eot 值单位为分钟，需要转换为小时再进行下一步计算。

实现代码如下所示：

```

double SpencerTimeAngle(cDateTime mDateTime, double lon)
{
    int n = getDaysOfYear(mDateTime);
    double t = getHours(mDateTime);
    double thet = 2 * M_PI * (n - 1) / 365;
    double eot = 229.18 * (0.000075 + 0.001868 * cos(thet) -
0.032077 * sin(thet) - 0.014615 * cos(2 * thet) - 0.04089 * sin(2 *

```

```

thet));
    double ts = 0;
    ts = t + eot / 60 + (lon - 120) / 15;
    double w = M_PI / 12 * (ts - 12);
    return w;
}

```

1.3.3 Whillier 算子

Whillier 算子由 Whillier 提出，其中 θ 为日角，单位为弧度。计算所得 eot 单位为分钟，需要转换成小时。

$$eot = 9.87 \sin(2\theta) - 7.53 \cos(\theta) - 1.5 \sin(\theta) \quad (30)$$

日角的计算公式如下，周期为 1 年， n 为计日序数。

$$\theta = \frac{2\pi(n-81)}{364} \quad (31)$$

实现代码如下：

```

double Whillier(cDateTime mDateTime, double lon)
{
    int n = getDaysOfYear(mDateTime);
    double t = getHours(mDateTime);
    double thet = 2 * M_PI * (n - 81) / 364;
    double eot = 9.87 * sin(2 * thet) - 7.53 * cos(thet) - 1.5 *
sin(thet);

    double ts = 0;
    ts = t + eot / 60 + (lon - 120) / 15;
    double w = M_PI / 12 * (ts - 12);
    return w;
}

```

1.3.4 Wloof 算子

Wloof 算子由 Wloof 提出，其中 θ 为日角，单位为弧度。计算所得 eot 单位为分钟，需要转换成小时。误差修正值计算公式如下：

$$\begin{aligned} eot &= 0.258 \cos(\theta) - 7.416 \sin(\theta) - \\ &3.648 \cos(2\theta) - 9.228 \sin(2\theta) \end{aligned} \quad (32)$$

其中的日角公式如下，周期为 1 年， n 为计日序数。

$$\theta = \frac{2\pi(n-1)}{365.242} \quad (33)$$

代码实现如下：

```

double Wloof(cDateTime mDateTime, double lon)
{
    int n = getDaysOfYear(mDateTime);
    double t = getHours(mDateTime);
    double thet = 2 * M_PI * (n - 1) / 365.242;
    double eot = 0.258 * cos(thet) - 7.416 * sin(thet) - 3.648 *
cos(2 * thet) - 9.228 * sin(2 * thet);

    double ts = 0;
    ts = t + eot / 60 + (lon - 120) / 15;
    double w = M_PI / 12 * (ts - 12);
    return w;
}

```

1.3.5 Yu 算子

Yu 算子由 Yu 提出，除了可计算赤纬，可提出了计算太阳时角的公式，其中 θ 为日角，单位为弧度。计算所得 eot 单

位为分钟, 需要转换成小时。误差修正值计算公式如下:

$$\begin{aligned} eot &= 0.0172 + 0.4281 \cos(\theta) - 7.351 \sin(\theta) - \\ &\quad 3.3495 \cos(2\theta) - 9.3619 \sin(2\theta) \end{aligned}$$

其中的日角公式如下, 周期为 1 年, n 为计日序数。

$$\theta = \frac{2\pi n}{365}$$

代码实现如下:

```
double YuTimeAngle(cDateTime mDateTime, double lon)
{
    int n = getDaysOfYear(mDateTime);
    double t = getHours(mDateTime);
    double thet = 2 * M_PI * n / 365;
    double eot = 0.0172 + 0.4281 * cos(theta) - 7.351 * sin(theta) -
        3.3495 * cos(2 * theta) - 9.3619 * sin(2 * theta);
    double ts = 0;
    ts = t + eot / 60 + (lon - 120) / 15;
    double w = M_PI / 12 * (ts - 12);
    return w;
}
```

1.3.6 VSOP87 行星理论

关于 VSOP87 行星理论上文已有介绍, 利用该理论计算的过程如下。

1) 计算相对儒略世纪数, 用 T 表示:

$$T = \frac{J - 2451545.0}{36525} \quad (34)$$

2) 计算黄道与月球平轨道升交点黄经, 用 mw 表示:

$$mw = 125.04452 - 1934.136261 \times T + 0.0020708 \times T^2 + \frac{T^4}{450000} \quad (35)$$

3) 计算太阳几何平黄经, 用 L 表示:

$$L = 280.466456 + 36000.76982779 \times T + 0.003032028 \times T^2 + \frac{T^3}{49931} - \frac{T^5}{15299} \quad (36)$$

4) 计算月球几何平黄经, 用 L_1 表示:

$$L_1 = 218.3164591 + 481267.88134236 \times T - 0.0013268 \times T^2 + 0.0000019 \times T^3 \quad (37)$$

5) 计算黄经章动, 用 NHJ 表示:

$$\begin{aligned} NHJ &= -\frac{17.2}{3600} \sin \frac{mw}{radeg} - \frac{1.32}{3600} \sin \frac{2L}{radeg} - \\ &\quad \frac{0.23}{3600} \sin \frac{2L_1}{radeg} + \frac{0.21}{3600} \sin \frac{mw}{radeg} \end{aligned} \quad (38)$$

6) 计算平黄赤交角, 用 MB 表示:

$$MB = 23.4392911111 - \frac{46.815}{3600} \times T - \frac{0.00059}{3600} \times T^2 + \frac{0.001813}{3600} \times T^3 \quad (39)$$

7) 计算任意时刻格林尼治恒星时, 并加上黄经章动修正, 得到视恒星时用 Q_0 表示, 需要将 Q_0 值转换到 $0 \sim 360^\circ$ 范围内:

$$Q_0 = 280.4606183 + 360.98564736629 \times (J - 2451545) +$$

$$0.000387933 \times T^2 - \frac{T^3}{38710000} + NHJ \times MB$$

$$Q_0 = Q_0 - 360 \times \text{int} \frac{Q_0}{360} \quad (40)$$

8) 计算太阳平近点角, 用 MS_s 表示:

$$\begin{aligned} MS_s &= 357.52191 + 35999.0503 \times T - \\ &\quad \frac{0.0001559}{3600} \times T^2 + 0.00000048 \times T^3 \end{aligned} \quad (41)$$

9) 计算太阳真黄经, 用 SYS 表示:

$$\begin{aligned} SYS &= L + (1.9146 - 0.004817 \times T - 0.000014 \times T^2) \\ &\quad \sin \frac{MS_s}{ra \deg} + (0.019993 - 0.000101 \times T) \sin \left(\frac{2MS_s}{ra \deg} \right) + \\ &\quad 0.00029 \sin \frac{3MS_s}{ra \deg} \end{aligned} \quad (42)$$

10) 计算太阳赤经, 用 RM 表示:

$$\begin{aligned} RM &= ra \deg \times \arctan2(\cos(\frac{MB}{ra \deg}) \times \\ &\quad \sin(\frac{SYS}{ra \deg}), \cos(\frac{SYS}{ra \deg})) \end{aligned} \quad (43)$$

11) 计算当地太阳时角, 用 ω , 需要将 ω 值转换到 $0 \sim 360^\circ$ 范围内, 计算结果为度值, 通常需要转换成弧度值, 方便后续计算:

$$\omega = \omega - 360 \times \text{int} \frac{\omega}{360} \quad (44)$$

$$\omega = Q_0 + lon - 120 - RM \quad (45)$$

实现上述公式的代码如下:

```
double VSOP87TimeAngle(cDateTime date, double lon)
{
    //儒略日数
    double J = date2JD(date);
    //计算相对儒略世纪数
    double T = (J - 2451545.0) / 36525;
    //黄道与月球平轨道升交点黄经
    double mw = 125.04452 - 1934.136261 * T + 0.0020708 *
        pow(T, 2) + pow(T, 4) / 450000;
    //太阳几何平黄经
    double L = 280.466456 + 36000.76982779 * T + 0.003032028 *
        pow(T, 2) + pow(T, 3) / 49931 - pow(T, 5) / 15299;
    //月球几何平黄经
    double L1 = 218.3164591 + 481267.88134236 * T - 0.0013268 *
        pow(T, 2) + 0.0000019 * pow(T, 3);
    //黄经章动
    double NHJ = (-17.2 / 3600) * sin(mw / radeg) - (1.32 /
        3600) * sin(2 * L / radeg) - (0.23 / 3600) * sin(2 * L1 / radeg) +
        (0.21 / 3600) * sin(2 * mw / radeg);
    //平黄赤交角
    double MB = 23.4392911111 - (46.815 / 3600) * T - (0.00059 /
        3600) * pow(T, 2) + (0.001813 / 3600) * pow(T, 3);
    //任意时刻格林尼治视恒星时, 加黄经章动修正, 得到视恒星时
    double Q0 = 280.4606183 + 360.98564736629 * (J - 2451545) +
        0.000387933 * pow(T, 2) - pow(T, 3) / 38710000 + NHJ
```

```

* MB;
int n=Q_0/360;
Q_0=Q_0-n*360;
//太阳平近点角
double MSs=357.52191+35999.0503*T-0.0001559*
pow(T,2)-0.00000048*pow(T,3);
//太阳真黄经
double SYS=L+(1.9146-0.004817*T-0.000014*pow(T,2))*sin(MSs/raddeg)+(0.019993-0.000101*T)*sin(2*MSs/raddeg)+0.00029*sin(3*MSs/raddeg);
//太阳地心赤经
double RM=raddeg*atan2(cos(MB/raddeg)*sin(SYS/raddeg),cos(SYS/raddeg));
//当地时角
double w=Q0+lon-120-RM;
int temp=w/360;
w=w-temp*360;
return w/180*M_PI;
}

```

2 太阳高度角及方位角的计算方法

太阳高度角和方位角，即在观察者位置观察太阳时的方位俯仰角，与当地的水平面相关，太阳高度角从地表横切面起算，取值范围为 $0\sim 90^\circ$ ，水平角从正北方向起算，取值范围为 $0\sim 360^\circ$ 。

计算太阳高度角时，需要考虑蒙气差的影响。

2.1 太阳高度角的计算

太阳高度角的计算公式如下，其中 ψ 为观察者所处地点的纬度值， δ 为太阳赤纬角， e 为地球椭圆扁率：

$$\alpha = \frac{\pi}{2} - \arccos \left[\frac{\cos \varphi \cos \omega \cos \delta + \sin \varphi \sin \delta}{\sqrt{1 + \left[\frac{1}{(1-e)^2} - 1 \right] \cos^2 \delta \sin^2 \varphi + \left[(1-e)^2 - 1 \right] \cos^2 \varphi \sin^2 \delta}} \right] \quad (46)$$

其中地球扁率公式为：

$$e = \frac{a-b}{a} \quad (47)$$

太阳高度角和方位角计算的代码如下：

```

cAE SunAltitudeAngle::calSunAltitudeAngle(cLocation mLocation, double hourAngle, double Dec)
{
    cAE mSunAE;
    double e=(earth_a-earth_b)/earth_a;
    double cos_lat=cos(mLocation.dLatitude/raddeg);
    double cos_w=cos(hourAngle);
    double cos_Dec=cos(Dec);
    double sin_lat=sin(mLocation.dLatitude/raddeg);
    double sin_Dec=sin(Dec);
    double up=cos_lat*cos_w*cos_Dec+sin_lat*sin_Dec;
    double down=sqrt(1+(1/pow(1-e,2))-1)*pow(cos_

```

```

Dec,2)*pow(sin_lat,2)+(pow(1-e,2)-1)*pow(cos_lat,2)*
pow(sin_Dec,2));
    double cos_phi=up/down;
    double phi=acos(cos_phi);
    double E=M_PI_2-phi;
    double R0=MongolianQiDiff(1,E,16,880); //计算蒙气差,
    单位为角秒
    E=E+(R0/3600)/raddeg;
    mSunAE.E=E;
    double cos_A=(sin(E)*sin_lat-sin_Dec)/(cos(E)*cos_lat);
    mSunAE.A=acos(cos_A);
    return mSunAE;
}

```

2.2 太阳方位角的计算

太阳方位角的计算在计算得出高度角的基础上进行，公式如下，其中， α 为太阳高度角， ψ 为观察者所处纬度值， δ 为太阳赤纬角。

$$\beta = \arccos \left(\frac{\sin \alpha * \sin \varphi - \sin \delta}{\cos \alpha * \cos \varphi} \right) \quad (48)$$

2.3 蒙气差计算公式

蒙气差修正，即对因大气折射、温度、气压带来的误差进行修正。蒙气差的单位为角秒。在此采用李文提出的计算公式，以公式适用范围为依据，将蒙气差计算按俯仰角进行划分。下列公式输入值 α 为俯仰角，单位为弧度，输出值为修正值，输出为角秒。

2.3.1 蒙气差对大气折射的修正

2.3.1.1 俯仰角 $0\sim 14^\circ$ 范围的修正

在此范围内，使用傅里叶展开法进行计算修正，修正系数采用真实记录值进行计算。计算公式如下。

$$R_0 = a_0 + \sum_{k=1}^5 a_k \cos(k \tan(\frac{\pi}{2} - \alpha) \times \omega) + \sum_{k=1}^5 b_k \sin(k \tan(\frac{\pi}{2} - \alpha) \times \omega) \quad (49)$$

实现代码如下：

```

double SunAltitudeAngle::Fourier(double alpha, double a[6],
double b[5], double w)
{
    double z=M_PI_2-alpha;
    double R0=a[0]+a[1]*cos(tan(z)*w)+a[2]*cos(2*tan(z)*w)+a[3]*cos(3*tan(z)*w)+a[4]*cos(4*tan(z)*w)+a[5]*cos(5*tan(z)*w)+b[0]*sin(tan(z)*w)+b[1]*sin(2*tan(z)*w)+b[2]*sin(3*tan(z)*w)+b[3]*sin(4*tan(z)*w)+b[4]*sin(5*tan(z)*w);
    return R0;
}

```

2.3.1.2 俯仰角 $15\sim 45^\circ$ 范围的修正

在此范围内，采用数值拟合法进行修正，修正系数采用真实记录值进行计算，修正公式如下：

$$R_0 = \sum_{k=0}^7 a_k \cot^k(\alpha) \quad (50)$$

实现代码如下:

```
double SunAltitudeAngle::NumericalFitting ( double alpha,
double a[8])
{
    double z=M_PI_2-alpha;
    double R0=a[0]*pow(tan(z),0)+a[1]*pow(tan(z),1)
+a[2]*pow(tan(z),2)+a[3]*pow(tan(z),3)+a[4]*pow(tan(z),4)+a[5]*pow(tan(z),5)+a[6]*pow(tan(z),6)+a[7]*pow(tan(z),7);
    return R0;
}
```

2.3.1.3 俯仰角 46~90°范围的修正

高俯仰范围内的修正方法较多, 常见的有 5 种算法。

1) 算法一的计算公式如下:

$$R_0 = 60.2 \tan\left(\frac{\pi}{2} - \alpha\right) \quad (51)$$

2) 算法二的计算公式如下:

$$R_0 = \frac{1819.08 + 194.89\alpha + 1.47\alpha^2 - 0.042\alpha^3}{1 + 0.41\alpha + 0.067\alpha^2 + 0.000085\alpha^3} \quad (51)$$

3) 算法三的计算公式如下:

$$R_0 = \frac{1.02}{\tan\left[\left(\alpha + \frac{10.3}{\alpha + 5.11}\right)\pi/180\right]} \quad (52)$$

4) 算法四的计算公式如下:

$$\begin{aligned} R_0 = & 60.097 \tan\left(\frac{\pi}{2} - \alpha\right) + 0.0109 \tan^2\left(\frac{\pi}{2} - \alpha\right) - \\ & 0.073 \tan^3\left(\frac{\pi}{2} - \alpha\right) + 0.002 \tan^4\left(\frac{\pi}{2} - \alpha\right) \end{aligned} \quad (53)$$

5) 算法五的计算公式如下:

$$\begin{aligned} R_0 = & 60.103 \tan\left(\frac{\pi}{2} - \alpha\right) - 0.066 \tan^3\left(\frac{\pi}{2} - \alpha\right) - \\ & 0.00015 \tan^5\left(\frac{\pi}{2} - \alpha\right) \end{aligned} \quad (54)$$

实现上述公式的代码如下:

```
if(type==1)
{
    R0=60.2*tan(z);
}
else if(type==2)
{
    R0=(1819.08+194.89*alpha+1.47*pow(alpha,2)-
0.042*pow(alpha,3))/(1+0.41*alpha+0.067*pow(alpha,2)-
0.000085*pow(alpha,3));
}
else if(type==3)
{
    R0=1.02/tan((alpha+10.3/(alpha+5.11))*M_PI/180);
}
else if(type==4)
{
    R0=60.097*tan(z)+0.0109*pow(tan(z),2)-0.073*
pow(tan(z),3)+0.002*pow(tan(z),4);
}
else if(type==5)
{
```

```
R0=60.103*tan(z)-0.066*pow(tan(z),3)-0.00015*
pow(tan(z),5);
}
```

2.3.2 蒙气差对温度、气压的修正

蒙气差还会受温度和湿度的影响, 因此需要对蒙气差进行附加值修正。输入值为蒙气差值, 单位为角秒, 输出值为蒙气差修正值, 单位为角秒。蒙气差修正公式如下。其中在高仰角(通常指大于 45°)的情况下, 大气折射对温度也会有一个影响, 因此需要对温度再进行一次修正, 其中 μ 为对温度的附加修正。

$$R = R_0(1 + \mu A + B) \quad (55)$$

其中: μ 的修正公式如下:

$$\mu = \sum_{k=0}^5 a_k \cot^k(\alpha) \quad (56)$$

低仰角时, 无需对温度进行修正。蒙气差修正公式如下:

$$R = R_0(1 + A + B) \quad (57)$$

对温度的修正公式如下:

$$A = \frac{-0.00383(T - 273.15)}{1 + 0.00363(T - 273.15)} \quad (58)$$

对气压的修正公式如下:

$$B = \frac{P}{101324.72} - 1 \quad (59)$$

上述公式实现代码如下:

```
double SunAltitudeAngle::MongolianQiDiffPlus(double alpha,
double R,double T,double P)
{
    double R0=0;
    double A=-0.00383*T/(1+0.00363*T);
    double B=P/101324.72-1;
    if(alpha<(45/raddeg))
    {
        double a[6]={1.00011366,-8.95854338e-4,1.77241695e-
3,-9.29720341e-5,2.00679856e-6,-1.5325798e-8};
        double z=M_PI_2-alpha;
        double mu=a[0]*pow(tan(z),0)+a[1]*pow(tan(z),1)
+a[2]*pow(tan(z),2)+a[3]*pow(tan(z),3)+a[4]*pow(tan(z),4)+a[5]*pow(tan(z),5);
        R0=R*(1+mu*A+B);
    }
    else{
        R0=R*(1+A+B);
    }
    return R0;
}
```

3 飞行器与太阳夹角的计算方法

在计算出太阳高度角和方位角以后, 同时已知飞行器的方位俯仰角, 此时便能计算出飞行器与太阳之间的夹角。

计算夹角有两种方法: 一种是向量点乘的方法, 另一种是三角函数推导的方法。

飞行器与太阳及观测点之间的相互关系如图 2。F 点为

飞行器, S 点为太阳, P 点为观察点, 太阳夹角即图中所示 $\angle FPS$ 。

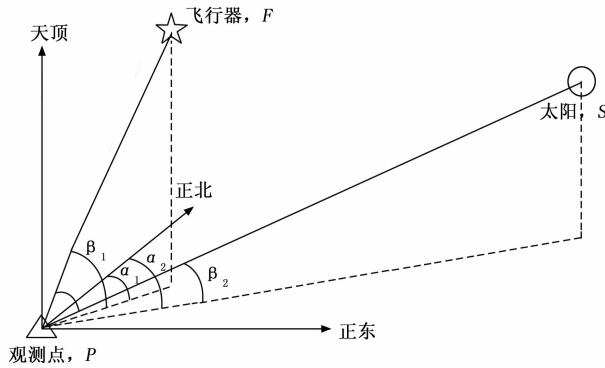


图 2 太阳夹角示意图

计算时, 为方便计算, 取模的长度为 1, α_1 为飞行器点的方位角, β_1 为飞行器的俯仰角, α_2 为太阳的方位角, β_2 为太阳的俯仰角。则 F 点方向可以假定一个模长为 1 点 F' , 其坐标可以表示为 $F'(\cos\beta_1 \sin\alpha_1, \cos\beta_1 \cos\alpha_1)$, 同理, 在 S 点方向可以假定一个模长为 1 的点 S' , 其坐标可以表示为 $S'(\cos\beta_2 \sin\alpha_2, \cos\beta_2 \cos\alpha_2)$ 。正东方向取为 X 轴正方向, 正北方向取为 Y 轴正方向。

3.1 向量点乘法

向量点乘的计算公式如下:

$$\theta = \arccos \left(\frac{\sum_{i=1}^n a_i b_i}{\|a\| \times \|b\|} \right) \quad (60)$$

根据 F' 与 S' 的值, 代码实现如下:

```
double SolarAngle::dotProduct(cAE SunAE, cAE CraftAE)
{
    cXYZ Sun_XYZ;
    cXYZ CraftAE_XYZ;
    double alpha1=SunAE.A;
    double beta1=SunAE.E;
    double alpha2=CraftAE.A;
    double beta2=CraftAE.E;
    Sun_XYZ.X=cos(beta1)*cos(alpha1);
    Sun_XYZ.Y=cos(beta1)*sin(alpha1);
    Sun_XYZ.Z=sin(beta1);
    CraftAE_XYZ.X=cos(beta2)*cos(alpha2);
    CraftAE_XYZ.Y=cos(beta2)*sin(alpha2);
    CraftAE_XYZ.Z=sin(beta2);
    double theta=acos(Sun_XYZ.X * CraftAE_XYZ.X + Sun_XYZ.Y * CraftAE_XYZ.Y + Sun_XYZ.Z * CraftAE_XYZ.Z);
    return theta;
}
```

3.2 三角函数推导

在 PF 与 PS 两条线段上, 从 P 点出发, 取一个长度为 1 的线段, 记作 F' 和 S' , 将 F' 和 S' 相连, 成一个等腰三角形, 计算 $F'S'$ 长度, 从而求出 $\angle F'PS'$, 即太阳夹角。

经推导, 计算公式结果如下:

$$\theta = 2\arcsin\left(\frac{\sqrt{2 - 2\cos\beta_1\cos\beta_2\cos(\alpha_1 - \alpha_2) - 2\sin\beta_1\sin\beta_2}}{2}\right) \quad (61)$$

代码实现如下:

```
double SolarAngle::trigonometric(cAE SunAE, cAE CraftAE)
{
    double alpha1=SunAE.A;
    double beta1=SunAE.E;
    double alpha2=CraftAE.A;
    double beta2=CraftAE.E;
    double theta=2 * asin(sqrt(2 - 2 * cos(beta1) * cos(beta2) * cos(alpha1 - alpha2) - 2 * sin(beta1) * sin(beta2)) / 2);
    return theta;
}
```

4 飞行器与太阳夹角的精度分析

为比较各算法的计算结果, 进行精度分析。

4.1 精度分析方法

用以进行数值精度鉴定的参考数据, 通常有两种来源, 一是通过实际观察获取的实测记录值, 另一种来源是精度更高的计算值。在本次计算赤经赤纬数值的精度鉴定中, 采用第二种方法, 以精度更高的计算值来作为参考值的办法。采用复杂算法 SPA 算法的计算值作为数据的参考值, SPA 算法是综合考虑了海拔、压强、温度、倾斜度、方位角旋转、大气折射、时区、地球自转时间与地球时间之差等各方面因素的算法, 其计算精度可达 $\pm 0.0003^\circ$, 可以用来作为参考值对简单算法进行精度分析。

因此在对太阳夹角的数值分析时, 选用 SPA 算法作为参考值。误差分析选用均值、方差、均方根三项指标进行分析。

飞行器飞行轨迹选用样本, 按照每秒一个点, 每秒在方位、俯仰方向上各新增 0.0001° , 全时长为 300 秒设计。飞行时间设定为 2018 年 8 月 8 日上午 10 点整。起飞地点设置为东经 102.24189739, 北纬 27.90234142。

数据样本为全飞行轨迹中, 每个点的太阳夹角与参考值的差值。

均值即将样本值求均值。公式如下:

$$\mu = \frac{1}{N} \sum_{i=0}^{N-1} x_i \quad (62)$$

方差为将样本值与样本的均值相减, 分别求平方后求和, 再将平方和求均值。

$$\sigma^2 = \frac{1}{N-1} \sum_{i=0}^{N-1} (x_i - \mu)^2 \quad (63)$$

均方根, 将所有样本值分别求平方, 再求平方和以后求平方和的均值, 最后开平方。

$$X_{\text{RMS}} = \sqrt{\frac{1}{N} \sum_{n=1}^N |X_n|^2} \quad (64)$$

分析对象为: 9 种太阳赤纬角算法, 6 种太阳时间算法。

4.2 精度分析结果

4.2.1 均值分析结果

均值分析结果如表 1 所示。

表 1 均值计算结果

时角 赤纬 \ 算子	Lamm	Spencer	Whillier	Wloof	Yu	VSOP87
Bourges	-0.854 447	0.525 732	0.370 987	0.482 453	0.494 995	0.072 978 1
Cooper	-0.809 667	0.572 644	0.417 658	0.529 298	0.541 859	0.119 186
Spencer	-0.885 542	0.493 154	0.338 577	0.449 922	0.462 45	0.040 889 7
Yu	-0.909 863	0.467 671	0.313 226	0.424 476	0.436 994	0.015 790 4
Stine	-0.807 154	0.575 276	0.420 276	0.531 926	0.544 488	0.121 779
Wang	-0.907 486	0.470 161	0.315 703	0.426 963	0.439 481	0.018 242 8
数值拟合	0.431 104	1.868 76	1.707 48	1.823 65	1.836 72	1.397 02
傅里叶	0.384 772	1.820 56	1.659 5	1.775 52	1.788 57	1.349 44
VSOP87	-0.832 882	0.548 324	0.393 463	0.505 013	0.517 564	0.095 230 6

表 2 方差计算结果

时角 赤纬 \ 算子	Lamm	Spencer	Whillier	Wloof	Yu	VSOP87
Bourges	0.917 01	0.622 296	0.498 484	0.586 19	0.596 555	0.072 978 1
Cooper	0.875 42	0.662 383	0.534 102	0.625 289	0.635 957	0.119 188
Spencer	0.946 061	0.595 044	0.474 877	0.559 738	0.569 857	0.040 891 9
Yu	0.968 871	0.574 115	0.457 164	0.539 51	0.549 413	0.015 807 7
Stine	0.873 096	0.664 659	0.536 151	0.627 514	0.638 198	0.121 78
Wang	0.966 639	0.576 144	0.458 864	0.541 467	0.551 392	0.018 256 6
数值拟合	0.543 774	1.897 92	1.739 36	1.853 53	1.866 39	1.397 11
傅里叶	0.507 874	1.850 5	1.692 29	1.806 2	1.819 04	1.349 52
VSOP87	0.896 963	0.641 515	0.515 452	0.604 912	0.615 43	0.095 230 8

图 3 为折线图形式。横坐标为赤纬算子，每一条折现代表一种时角算法。

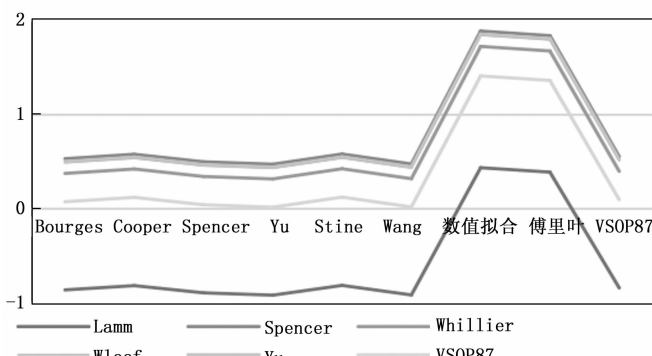


图 3 均值折线图

均值能反映统计样本的大致的平均水准, 均值越小, 说明样本值整体越小。从表 1 均值计算结果分析可得以下结论。

1) 不同的赤纬角算子下, VSOP87 的时角计算结果偏差最小。

2) 不同的时角算子下, Wang 算法的赤纬角计算结果偏差最小。

4.2.2 方差分析结果

方差分析结果如表 2 所示。

图 4 为折线图形式。横坐标为赤纬算子, 每一条折现代表一种时角算法。

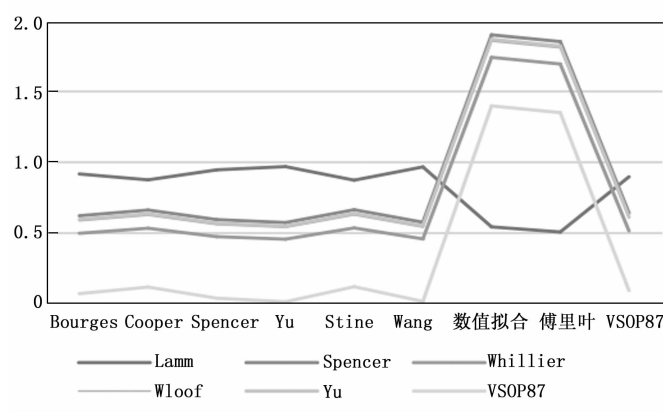


图 4 方差折线图

方差分析反映的是自变量对数值的影响。即对于均值的偏离度的一个分析, 即数值的稳定程度。数值越小, 说明数值越稳定, 起伏越小。

1) 在不同的赤纬角算子下, VSOP87 的时角计算结果波动最小。

2) 在不同的时角算子下, Wang 算子的赤纬角计算结果波动最小。

4.2.3 均方根分析结果

均方根分析结果如表 3 所示。

表 3 均方根计算结果

时角 赤纬 \ 角	Lamm	Spencer	Whillier	Wloof	Yu	VSOP87
Bourges	0.111 198	0.111 229	0.111 226	0.111 228	0.111 229	1.06388e-09
Cooper	0.111 17	0.111 202	0.111 198	0.111 201	0.111 201	2.89124e-07
Spencer	0.111 217	0.111 248	0.111 245	0.111 247	0.111 248	1.84167e-07
Yu	0.111 231	0.111 263	0.111 259	0.111 262	0.111 262	5.46977e-07
Stine	0.111 169	0.111 2	0.111 196	0.111 199	0.111 199	3.24533e-07
Wang	0.111 23	0.111 262	0.111 258	0.111 261	0.111 261	5.03017e-07
数值拟合	0.110 207	0.110 23	0.110 228	0.110 23	0.110 23	0.000248146
傅里叶	0.110 253	0.110 277	0.110 275	0.110 277	0.110 277	0.000231583
VSOP87	0.111 22	0.111 253	0.111 249	0.111 251	0.111 252	3.4982e-08

图 5 为折线图形式。横坐标为赤纬算子，每一条折现代表一种时角算法。

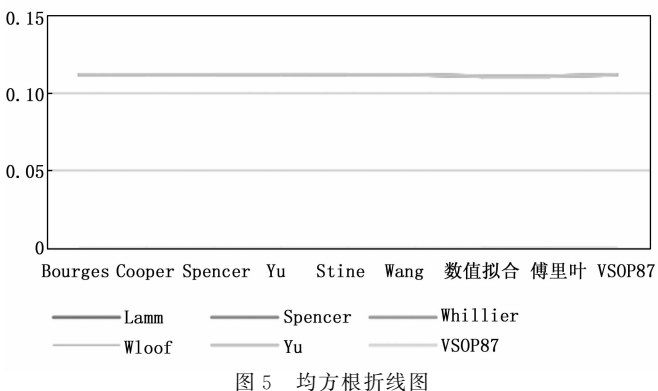


图 5 均方根折线图

均方根和均值一起分析，反映了样本的一致性情况。均方根和均值越接近，说明样本数据一致性越好。

- 1) 在不同的赤纬角算子下，VSOP87 的时角一致性最好。
- 2) 在不同的时角算子下，Wang 算子的赤纬角一致性最好。

5 结束语

本次实验实现了从计算太阳赤纬角和太阳时角，到计算太阳高度角和方位角，最后计算得到飞行器与太阳夹角。在 C++ 环境中，实现了 9 种太阳赤纬角，6 种太阳时角，2 种太阳夹角以及相应的蒙气差修正等过程的计算，并分析了 9 种太阳赤纬角算法，以及 6 种太阳时角算法对太阳夹角的影响，结果表明，所有简单算法中，VSOP87 的时角算子与 Wang 赤纬角算子的计算结果最为真实可靠。在日常使用的简单计算中，推荐使用 Wang 赤纬角算子及 VSOP87 时角算子计算太阳夹角。

参考文献：

- [1] 李文, 等. 地球椭球模型中太阳位置计算的改进 [J]. 中国科学院大学学报, 2019, 36 (3): 363-375.
- [2] 葛耀林, 等. 便携式实时太阳夹角计算装置的实现 [J]. 工业设计, 2011 (3): 92-93.
- [3] 陈达毅, 曾永忠, 等. 光学观测中飞行器与太阳夹角的计算方法 [J]. 现代经济信息, 2009 (14): 244.

- [4] 张威, 等. 光学观测中太阳夹角的分析与计算 [J]. 计算机测量与控制, 2016, 24 (12): 216-217, 230.
- [5] 张威, 等. 光学观测中月球夹角计算的原理与实现 [J]. 计算机仿真, 2018, 35 (10): 299-302.
- [6] 王炳忠, 等. 几种太阳位置计算方法的比较研究 [J]. 太阳能学报, 2001, 22 (4): 413-417.
- [7] 徐丰, 等. 建筑日照分析中太阳位置计算公式的改进研究 [J]. 重庆建筑大学学报, 2008, 30 (5): 134-138.
- [8] 王炳忠, 刘庚山. 日射观测中常用天文参数的再计算 [J]. 太阳能学报, 1991 (1): 29-34.
- [9] 杜春旭, 王普, 马重芳, 等. 一种高精度太阳位置算法 [J]. 能源工程, 2010 (2): 41-44, 48.
- [10] 杜春旭, 王普, 马重芳, 等. 用天文测量简历精确计算太阳位置的方法 [J]. 可再生能源, 2010, 28 (3): 85-88, 92.
- [11] COOPER P I, et al. The absorption of radiation in solar stills [J]. Solar Energy, 1969, 12 (3): 333-346.
- [12] SPENCER J W, et al. Fourier series representation of the position of the sun [J]. Search, 1971, 2 (5): 172.
- [13] STINE W B, et al. Solar energy fundamentals and design with computer applications [M]. New York: Jone Wiley & Sons, 1985: 38-69.
- [14] BOURGES B, et al. Improvement in solar declination computation [J]. Solar Energy, 1985, 35 (4): 367-369.
- [15] YU H, et al. Study on the formula of the solar declination and time difference in meteorology [J]. Meteorological, Hydrological and Marine Instrument, 2006, 3 (4): 50-53.
- [16] LAMM L O, et al. A new analytic expression for the equation of time [J]. Solar Energy, 1981, 26 (5): 465.
- [17] REDA I, ANDREAS A, et al. Solar position algorithm for solar radiation applications [J]. Solar Energy, 2004, 76 (5): 577-589.
- [18] DUFFLE J A, BECKMAN W A, et al. Solar engineering of thermal processes [M]. New York: Jone Wiley & Sons Inc, 1980: 8-28.
- [19] 张捍卫, 雷伟伟, 丁安民, 等. 低高度角处的蒙气差级数展开式 [J]. 天文学报, 2013, 54 (6): 562-568.
- [20] GRENA R, et al. An algorithm for the computation of the solar position [J]. Solar Energy, 2008, 82 (5): 462-470.